

# 若干凸多胞体图的容错度量维数

宣高闵\*, 康 娜<sup>#</sup>

河北地质大学数理教学部, 河北 石家庄

收稿日期: 2024年10月1日; 录用日期: 2024年10月25日; 发布日期: 2024年11月4日

---

## 摘要

图的容错度量维数的概念是由Hernand等人于2008年提出的, 它是度量维数的一个新变形, 也是图论和组合优化交叉研究的内容, 在机器导航、医药化学、组合优化和图像处理等领域有着广泛的应用。由于图的容错度量维数比其度量维数有更好的适应性, 所以图的容错度量维数的研究越来越受到人们的关注。对于给定的图和正整数 $k$ 确定该图的容错度量维数是否不超过 $k$ 是NP-难的。本文通过构作凸多胞体图 $B_n$ ,  $C_n$ 和 $E_n$ 的容错解析集, 得到了当 $n \geq 6$ 时凸多胞体图 $B_n$ ,  $C_n$ 和 $E_n$ 的容错度量维数都为4。这些成果在图论和组合优化中具有重要的理论价值, 并在网络电信和图像处理等方面有重要应用。

## 关键词

度量维数, 容错度量维数, 凸多胞体图

---

# Fault-Tolerant Metric Dimension of Some Convex Polytope Graphs

Gaomin Xuan\*, Na Kang<sup>#</sup>

School of Mathematics and Science, Hebei GEO University, Shijiazhuang Hebei

Received: Oct. 1<sup>st</sup>, 2024; accepted: Oct. 25<sup>th</sup>, 2024; published: Nov. 4<sup>th</sup>, 2024

---

## Abstract

The concept of fault-tolerant metric dimension of a graph was introduced by Hernand *et al.* in 2008. It is a distortion of the metric dimension of a graph and is the intersection of graph theory and combinatorial optimization. It has been widely used in many fields, such as machine navigation, medicinal

---

\*第一作者。

<sup>#</sup>通讯作者。

**chemistry, combinatorial optimization and image processing. The study of fault-tolerant metric dimension of a graph gets more and more attention from people, since it has better adaptability than the metric dimension of a graph. For a given graph and a positive integer  $k$ , deciding whether its fault-tolerant metric dimension is less than or equal to  $k$  is an NP-complete problem. In this paper, by constructing the fault-tolerant resolving sets of convex polytope graphs  $B_n$ ,  $C_n$  and  $E_n$ , respectively, we obtain their fault-tolerant metric dimensions are all 4 for  $n \geq 6$ . These results have theoretical value in graph theory and combinatorial optimization and have important applications in network telecommunications, image processing, etc.**

## Keywords

**Metric Dimension, Fault-Tolerant Metric Dimension, Convex Polytope Graphs**

Copyright © 2024 by author(s) and Hans Publishers Inc.

This work is licensed under the Creative Commons Attribution International License (CC BY 4.0).

<http://creativecommons.org/licenses/by/4.0/>



Open Access

## 1. 引言

设图  $G$  是一个简单无向的连通图,  $V(G)$  是图  $G$  的顶点集,  $E(G)$  是图  $G$  的边集。设顶点  $u, v \in V(G)$ , 顶点  $u$  和  $v$  之间最短路的长度被称为顶点  $u, v$  之间的距离  $d(u, v)$ 。设  $W$  是  $V(G)$  的一个子集, 若对于任意两个顶点  $v_1, v_2 \in V(G)$  都存在  $x \in W$  使得  $d(x, v_1) \neq d(x, v_2)$ , 则称  $W$  是图  $G$  的解析集。称基数最小的解析集为图  $G$  的度量基, 其基数叫做图  $G$  的度量维数, 记作  $\dim(G)$ 。图的度量维数作为图论和组合优化领域的重要组成部分, 渐渐地成为了数学以及其他领域学者的热门话题。1953 年, Blumenthal [1] 引入了一般空间中度量维数的概念, 在此之后, Slater [2] 在 1975 年为了确定网络中入侵者的位置, 首次提出了解析集和度量维数的概念。随后越来越多的学者加入图度量维数的研究中, 目前已经在机器导航[3]、医药化学[4]、组合优化[5]以及图像处理[6]等领域有着广泛的应用。

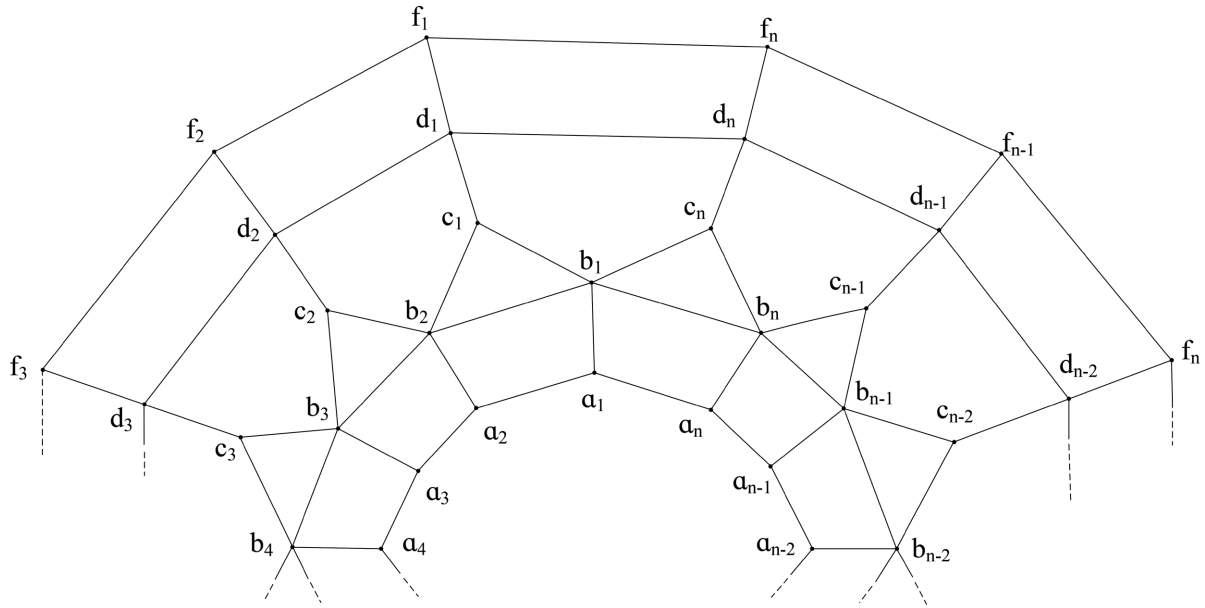
Hernand 等人[7]提出了度量维数的一个新的变形——容错度量维数。其定义如下: 对于图  $G$  的一个解析集  $W_f$ , 对于任意的  $w \in W_f$ , 如果  $W_f \setminus \{w\}$  仍是一个解析集, 则称  $W_f$  是图  $G$  的容错解析集。称基数最小的容错解析集为图  $G$  的容错度量基, 其基数叫做图  $G$  的容错度量维数, 记作  $\dim_f(G)$ 。对于给定的图  $G$  和正整数  $k$ , 确定  $\dim_f(G) \leq k$  是 NP-难的。容错度量维数在网络电信[8]、药物化学[9][10]以及机器导航[11]等领域有着进一步的应用。因此, 研究图容错度量维数尤其重要。本文研究了凸多胞体图  $B_n$ 、 $C_n$  以及  $E_n$  的容错度量维数。

## 2. 凸多胞体图 $B_n$ 的容错度量维数

首先介绍凸多胞体图  $B_n$ , 凸多胞体图  $B_n$  有  $5n$  个点和  $9n$  条边, 如图 1 所示。图  $B_n$  的顶点集和边集定义如下:

$$V(B_n) = \{a_i, b_i, c_i, d_i, f_i : 1 \leq i \leq n\};$$

$$\begin{aligned} E(B_n) = & \{a_i a_{i+1}, b_i b_{i+1}, d_i d_{i+1}, f_i f_{i+1} : 1 \leq i \leq n\} \\ & \cup \{a_i b_i, b_i c_i, b_{i+1} c_i, c_i d_i, d_i f_i : 1 \leq i \leq n\}. \end{aligned}$$



**Figure 1.** The convex polytope graph  $B_n$   
**图 1.** 凸多胞体图  $B_n$

**引理 1.1** [12] 设  $G = (V, E)$  是一个简单无向的连通图, 则  $\dim_f(G) \geq \dim(G) + 1$ 。

**引理 1.2** [13] 当  $n \geq 6$  时, 凸多胞体图  $B_n$  的度量维数  $\dim(B_n) = 3$ 。

**定理 1.1** 当  $n \geq 6$  时, 凸多胞体图  $B_n$  的容错度量维数  $\dim_f(B_n) = 4$ 。

**证明:** 当  $n \geq 6$  时, 设  $W_f = \left\{ a_1, a_2, a_{\lfloor \frac{n}{2} \rfloor+1}, a_{\lfloor \frac{n}{2} \rfloor+2} \right\}$ 。下面证明  $W_f$  是凸多胞体图  $B_n$  的一个容错解析集。 $B_n$

中的每个顶点关于  $W_f$  的度量表示如下:

$$r(a_i | W_f) = \begin{cases} \left(0, 1, \left\lfloor \frac{n}{2} \right\rfloor, \left\lceil \frac{n}{2} \right\rceil - 1\right), & i = 1; \\ \left(i-1, i-2, \left\lfloor \frac{n}{2} \right\rfloor - i+1, \left\lfloor \frac{n}{2} \right\rfloor - i+2\right), & 2 \leq i \leq \left\lfloor \frac{n}{2} \right\rfloor + 1; \\ \left(\left\lfloor \frac{n}{2} \right\rfloor - 1, \left\lfloor \frac{n}{2} \right\rfloor, 1, 0\right), & i = \left\lfloor \frac{n}{2} \right\rfloor + 2; \\ \left(n-i+1, n-i+2, i-\left\lfloor \frac{n}{2} \right\rfloor - 1, i-\left\lfloor \frac{n}{2} \right\rfloor - 2\right), & \left\lfloor \frac{n}{2} \right\rfloor + 3 \leq i \leq n; \end{cases} \quad (1)$$

$$r(b_i | W_f) = \begin{cases} \left(1, 2, \left\lfloor \frac{n}{2} \right\rfloor + 1, \left\lceil \frac{n}{2} \right\rceil\right), & i = 1; \\ \left(i, i-1, \left\lfloor \frac{n}{2} \right\rfloor - i+2, \left\lfloor \frac{n}{2} \right\rfloor - i+3\right), & 2 \leq i \leq \left\lfloor \frac{n}{2} \right\rfloor + 1; \\ \left(\left\lfloor \frac{n}{2} \right\rfloor, \left\lfloor \frac{n}{2} \right\rfloor + 1, 2, 1\right), & i = \left\lfloor \frac{n}{2} \right\rfloor + 2; \\ \left(n-i+2, n-i+3, i-\left\lfloor \frac{n}{2} \right\rfloor, i-\left\lfloor \frac{n}{2} \right\rfloor - 1\right), & \left\lfloor \frac{n}{2} \right\rfloor + 3 \leq i \leq n; \end{cases} \quad (2)$$

$$r(c_i | W_f) = \begin{cases} \left(2, 2, \left\lfloor \frac{n}{2} \right\rfloor + 1, \left\lceil \frac{n}{2} \right\rceil + 1\right), & i = 1; \\ \left(i+1, i, \left\lfloor \frac{n}{2} \right\rfloor - i + 2, \left\lceil \frac{n}{2} \right\rceil - i + 3\right), & 2 \leq i \leq \left\lfloor \frac{n}{2} \right\rfloor; \\ \left(\left\lfloor \frac{n}{2} \right\rfloor + 1, \left\lfloor \frac{n}{2} \right\rfloor + 1, 2, 2\right), & i = \left\lfloor \frac{n}{2} \right\rfloor + 1; \\ \left(n - i + 2, n - i + 3, i - \left\lfloor \frac{n}{2} \right\rfloor + 1, i - \left\lceil \frac{n}{2} \right\rceil\right), & \left\lfloor \frac{n}{2} \right\rfloor + 2 \leq i \leq n; \end{cases} \quad (3)$$

$$r(d_i | W_f) = \begin{cases} \left(3, 3, \left\lfloor \frac{n}{2} \right\rfloor + 2, \left\lceil \frac{n}{2} \right\rceil + 2\right), & i = 1; \\ \left(i+2, i+1, \left\lfloor \frac{n}{2} \right\rfloor - i + 3, \left\lceil \frac{n}{2} \right\rceil - i + 4\right), & 2 \leq i \leq \left\lfloor \frac{n}{2} \right\rfloor; \\ \left(\left\lfloor \frac{n}{2} \right\rfloor + 2, \left\lfloor \frac{n}{2} \right\rfloor + 2, 3, 3\right), & i = \left\lfloor \frac{n}{2} \right\rfloor + 1; \\ \left(n - i + 3, n - i + 4, i - \left\lfloor \frac{n}{2} \right\rfloor + 2, i - \left\lceil \frac{n}{2} \right\rceil + 1\right), & \left\lfloor \frac{n}{2} \right\rfloor + 2 \leq i \leq n; \end{cases} \quad (4)$$

$$r(f_i | W_f) = \begin{cases} \left(4, 4, \left\lfloor \frac{n}{2} \right\rfloor + 3, \left\lceil \frac{n}{2} \right\rceil + 2\right), & i = 1; \\ \left(4, 4, \left\lfloor \frac{n}{2} \right\rfloor + 2, \left\lceil \frac{n}{2} \right\rceil + 3\right), & i = 2; \\ \left(i+2, i+1, \left\lfloor \frac{n}{2} \right\rfloor - i + 4, \left\lceil \frac{n}{2} \right\rceil - i + 5\right), & 3 \leq i \leq \left\lfloor \frac{n}{2} \right\rfloor; \\ \left(\left\lfloor \frac{n}{2} \right\rfloor + 3, \left\lfloor \frac{n}{2} \right\rfloor + 2, 4, 4\right), & i = \left\lfloor \frac{n}{2} \right\rfloor + 1; \\ \left(\left\lfloor \frac{n}{2} \right\rfloor + 2, \left\lfloor \frac{n}{2} \right\rfloor + 3, 4, 4\right), & i = \left\lfloor \frac{n}{2} \right\rfloor + 2; \\ \left(n - i + 4, n - i + 5, i - \left\lfloor \frac{n}{2} \right\rfloor + 2, i - \left\lceil \frac{n}{2} \right\rceil + 1\right), & \left\lfloor \frac{n}{2} \right\rfloor + 3 \leq i \leq n; \end{cases} \quad (5)$$

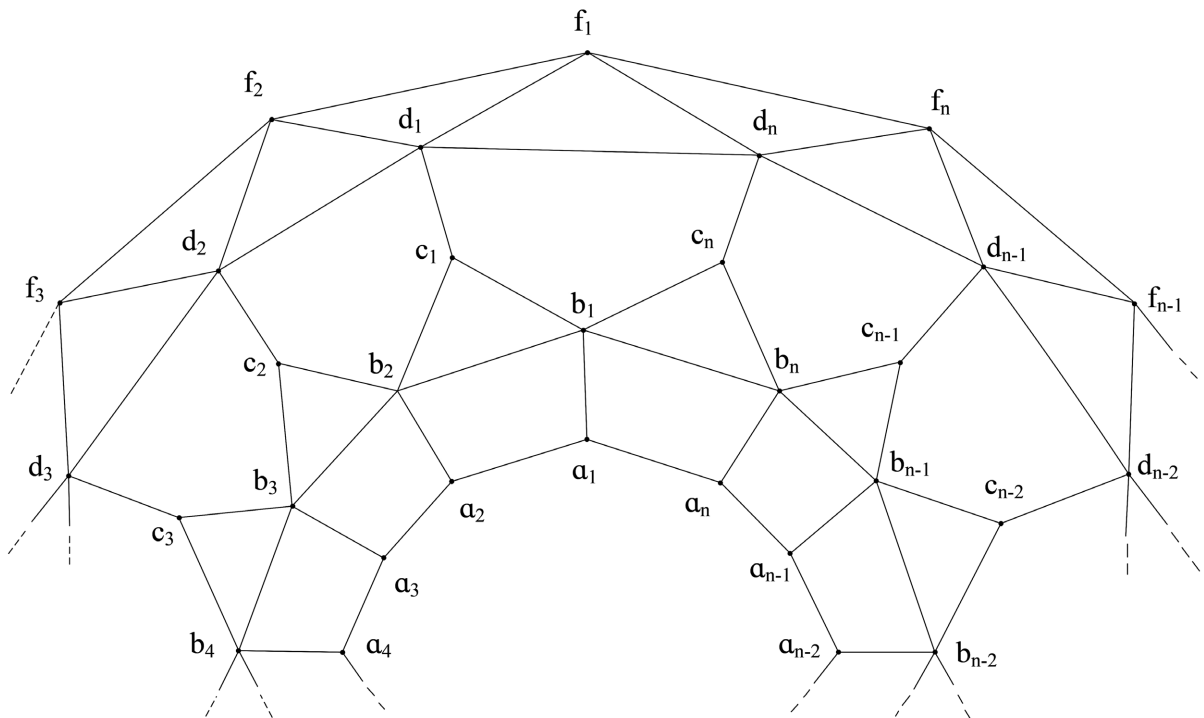
从度量表示(1)~(5)可以看出,  $V(B_n)$  中的任意两个顶点关于集合  $W_f$  有不同的度量表示, 所以  $W_f$  是图  $B_n$  的解析集。从  $W_f$  中任意去掉一个顶点可得  $W_f$  的四个子集, 分别是  $W_1 = \left\{a_1, a_2, a_{\left\lfloor \frac{n}{2} \right\rfloor + 1}\right\}$ ,  $W_2 = \left\{a_1, a_2, a_{\left\lfloor \frac{n}{2} \right\rfloor + 2}\right\}$ ,  $W_3 = \left\{a_1, a_{\left\lfloor \frac{n}{2} \right\rfloor + 1}, a_{\left\lfloor \frac{n}{2} \right\rfloor + 2}\right\}$  和  $W_4 = \left\{a_2, a_{\left\lfloor \frac{n}{2} \right\rfloor + 1}, a_{\left\lfloor \frac{n}{2} \right\rfloor + 2}\right\}$ 。由上面的(1)~(5)可以看出,  $V(B_n)$  中的任意两个顶点关于  $W_i (1 \leq i \leq 4)$  有不同的度量表示,  $W_i (1 \leq i \leq 4)$  是  $B_n$  的解析集。由容错解析集的定义可知  $W_f$  是  $B_n$  的容错解析集。因此,  $\dim_f(B_n) \leq 4$ 。由引理 1.1 和 1.2, 可得  $\dim_f(B_n) \geq 4$ 。综上, 当  $n \geq 6$  时,  $\dim_f(B_n) = 4$ 。

### 3. 凸多胞体图 $C_n$ 的容错度量维数

首先介绍凸多胞体图  $C_n$ , 凸多胞体图  $C_n$  有  $5n$  个点和  $10n$  条边, 如图 2 所示。图  $C_n$  的顶点集和边集

定义如下:

$$\begin{aligned} V(C_n) &= \{a_i, b_i, c_i, d_i, f_i : 1 \leq i \leq n\}; \\ E(C_n) &= \{a_i a_{i+1}, b_i b_{i+1}, d_i d_{i+1}, f_i f_{i+1} : 1 \leq i \leq n\} \\ &\cup \{a_i b_i, b_i c_i, c_i d_i, d_i f_i, b_{i+1} c_i, d_{i+1} f_i : 1 \leq i \leq n\}. \end{aligned}$$



**Figure 2.** The convex polytope graph  $C_n$

**图 2.** 凸多胞体图  $C_n$

**引理 2.1** [13] 当  $n \geq 6$  时, 凸多胞体图  $C_n$  的度量维数  $\dim(C_n) = 3$ 。

**定理 2.1** 当  $n \geq 6$  时, 凸多胞体图  $C_n$  的容错度量维数  $\dim_f(C_n) = 4$ 。

**证明:** 当  $n \geq 6$  时, 设  $W_f = \left\{a_1, a_2, a_{\left[\frac{n}{2}\right]+1}, a_{\left[\frac{n}{2}\right]+2}\right\}$ 。下面证明  $W_f$  是凸多胞体图  $C_n$  的一个容错度量解析集。

$C_n$  中的每个顶点关于  $W_f$  的度量表示如下:

$$r(a_i | W_f) = \begin{cases} \left(0, 1, \left\lfloor \frac{n}{2} \right\rfloor, \left\lceil \frac{n}{2} \right\rceil - 1\right), & i = 1; \\ \left(i-1, i-2, \left\lfloor \frac{n}{2} \right\rfloor - i + 1, \left\lfloor \frac{n}{2} \right\rfloor - i + 2\right), & 2 \leq i \leq \left\lfloor \frac{n}{2} \right\rfloor + 1; \\ \left(\left\lfloor \frac{n}{2} \right\rfloor - 1, \left\lfloor \frac{n}{2} \right\rfloor, 1, 0\right), & i = \left\lfloor \frac{n}{2} \right\rfloor + 2; \\ \left(n-i+1, n-i+2, i-\left\lfloor \frac{n}{2} \right\rfloor - 1, i-\left\lfloor \frac{n}{2} \right\rfloor - 2\right), & \left\lfloor \frac{n}{2} \right\rfloor + 3 \leq i \leq n; \end{cases} \quad (6)$$

$$r(b_i | W_f) = \begin{cases} \left(1, 2, \left\lfloor \frac{n}{2} \right\rfloor + 1, \left\lceil \frac{n}{2} \right\rceil\right), & i = 1; \\ \left(i, i-1, \left\lfloor \frac{n}{2} \right\rfloor - i+2, \left\lfloor \frac{n}{2} \right\rfloor - i+3\right), & 2 \leq i \leq \left\lfloor \frac{n}{2} \right\rfloor + 1; \\ \left(\left\lceil \frac{n}{2} \right\rceil, \left\lfloor \frac{n}{2} \right\rfloor + 1, 2, 1\right), & i = \left\lfloor \frac{n}{2} \right\rfloor + 2; \\ \left(n-i+2, n-i+3, i-\left\lfloor \frac{n}{2} \right\rfloor, i-\left\lfloor \frac{n}{2} \right\rfloor - 1\right), & \left\lfloor \frac{n}{2} \right\rfloor + 3 \leq i \leq n; \end{cases} \quad (7)$$

$$r(c_i | W_f) = \begin{cases} \left(2, 2, \left\lfloor \frac{n}{2} \right\rfloor + 1, \left\lceil \frac{n}{2} \right\rceil + 1\right), & i = 1; \\ \left(i+1, i, \left\lfloor \frac{n}{2} \right\rfloor - i+2, \left\lfloor \frac{n}{2} \right\rfloor - i+3\right), & 2 \leq i \leq \left\lfloor \frac{n}{2} \right\rfloor; \\ \left(\left\lceil \frac{n}{2} \right\rceil + 1, \left\lfloor \frac{n}{2} \right\rfloor + 1, 2, 2\right), & i = \left\lfloor \frac{n}{2} \right\rfloor + 1; \\ \left(n-i+2, n-i+3, i-\left\lfloor \frac{n}{2} \right\rfloor + 1, i-\left\lfloor \frac{n}{2} \right\rfloor\right), & \left\lfloor \frac{n}{2} \right\rfloor + 2 \leq i \leq n; \end{cases} \quad (8)$$

$$r(d_i | W_f) = \begin{cases} \left(3, 3, \left\lfloor \frac{n}{2} \right\rfloor + 2, \left\lceil \frac{n}{2} \right\rceil + 2\right), & i = 1; \\ \left(i+2, i+1, \left\lfloor \frac{n}{2} \right\rfloor - i+3, \left\lfloor \frac{n}{2} \right\rfloor - i+4\right), & 2 \leq i \leq \left\lfloor \frac{n}{2} \right\rfloor; \\ \left(\left\lceil \frac{n}{2} \right\rceil + 2, \left\lfloor \frac{n}{2} \right\rfloor + 2, 3, 3\right), & i = \left\lfloor \frac{n}{2} \right\rfloor + 1; \\ \left(n-i+3, n-i+4, i-\left\lfloor \frac{n}{2} \right\rfloor + 2, i-\left\lfloor \frac{n}{2} \right\rfloor + 1\right), & \left\lfloor \frac{n}{2} \right\rfloor + 2 \leq i \leq n; \end{cases} \quad (9)$$

$$r(f_i | W_f) = \begin{cases} \left(4, 4, \left\lfloor \frac{n}{2} \right\rfloor - i+4, \left\lceil \frac{n}{2} \right\rceil + 2\right), & i = 1; \\ \left(4, 4, \left\lfloor \frac{n}{2} \right\rfloor - i+4, \left\lfloor \frac{n}{2} \right\rfloor + 3\right), & i = 2; \\ \left(i+2, i+1, \left\lfloor \frac{n}{2} \right\rfloor - i+4, \left\lfloor \frac{n}{2} \right\rfloor - i+5\right), & 3 \leq i \leq \left\lfloor \frac{n}{2} \right\rfloor; \\ \left(\left\lceil \frac{n}{2} \right\rceil + 3, i+1, 4, 4\right), & i = \left\lfloor \frac{n}{2} \right\rfloor + 1; \\ \left(\left\lceil \frac{n}{2} \right\rceil + 2, i+1, 4, 4\right), & i = \left\lfloor \frac{n}{2} \right\rfloor + 2; \\ \left(n-i+4, n-i+5, i-\left\lfloor \frac{n}{2} \right\rfloor + 2, i-\left\lfloor \frac{n}{2} \right\rfloor + 1\right), & \left\lfloor \frac{n}{2} \right\rfloor + 3 \leq i \leq n; \end{cases} \quad (10)$$

从度量表示(6)~(10)可以看出,  $V(C_n)$  中的任意两个顶点关于集合  $W_f$  有不同的度量表示, 所以  $W_f$  是图  $C_n$  的解析集。从集合  $W_f$  中任意去掉一个顶点可得  $W_f$  的四个子集, 分别是  $W_1 = \left\{a_1, a_2, a_{\lceil \frac{n}{2} \rceil + 1}\right\}$ ,  $W_2 = \left\{a_1, a_2, a_{\lceil \frac{n}{2} \rceil + 2}\right\}$ ,  $W_3 = \left\{a_1, a_{\lceil \frac{n}{2} \rceil + 1}, a_{\lceil \frac{n}{2} \rceil + 2}\right\}$  和  $W_4 = \left\{a_2, a_{\lceil \frac{n}{2} \rceil + 1}, a_{\lceil \frac{n}{2} \rceil + 2}\right\}$ 。由上面的(6)~(10)可以看出,  $V(C_n)$  中的任意两个顶点关于  $W_i (1 \leq i \leq 4)$  有不同的度量表示,  $W_i (1 \leq i \leq 4)$  是  $C_n$  的解析集。由容错解析集的定义可知  $W_f$  是  $C_n$  的容错解析集。因此,  $\dim_f(C_n) \leq 4$ 。由引理 1.1 和 2.1, 可得  $\dim_f(C_n) \geq 4$ 。综上, 当  $n \geq 6$  时,  $\dim_f(C_n) = 4$ 。

#### 4. 凸多胞体图 $E_n$ 的容错度量维数

首先给出凸多胞体图  $E_n$  的定义, 凸多胞体图  $E_n$  有  $5n$  个点和  $11n$  条边, 如图 3 所示。图  $E_n$  的顶点集和边集定义如下:

$$\begin{aligned} V(E_n) &= \{a_i, b_i, c_i, d_i, f_i : 1 \leq i \leq n\}; \\ E(E_n) &= \{a_i a_{i+1}, b_i b_{i+1}, d_i d_{i+1}, f_i f_{i+1} : 1 \leq i \leq n\} \\ &\cup \{a_i b_i, b_i c_i, c_i d_i, d_i f_i, a_{i+1} b_i, b_{i+1} c_i, d_{i+1} f_i : 1 \leq i \leq n\}. \end{aligned}$$

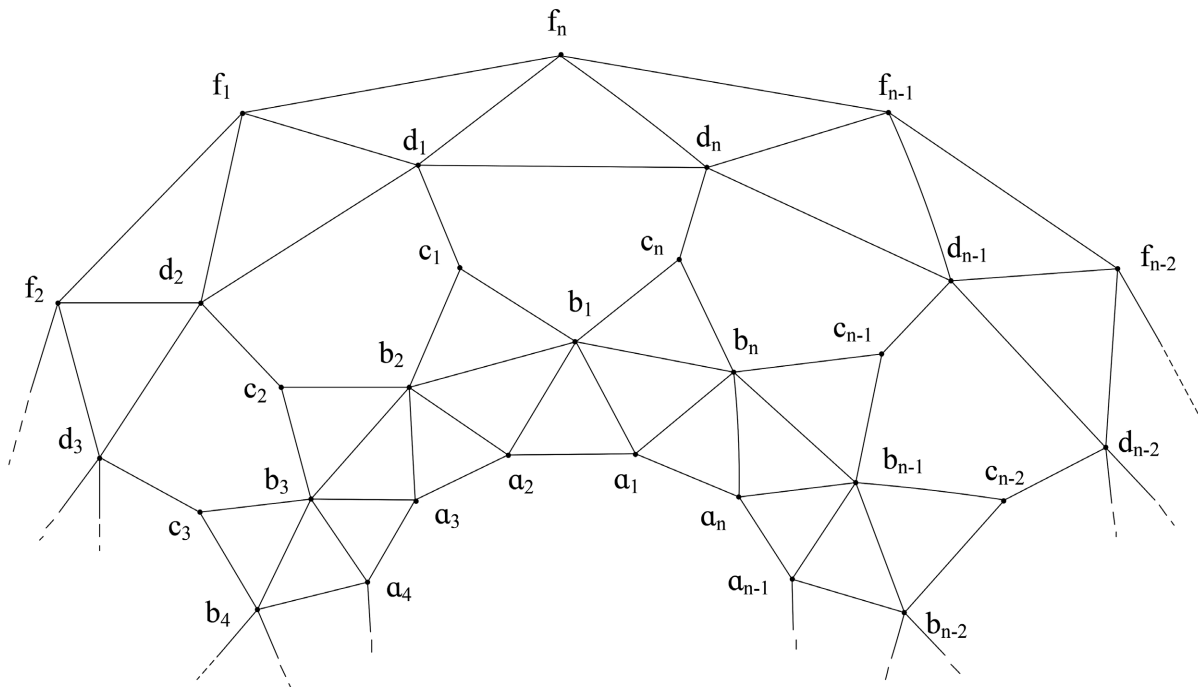


Figure 3. The convex polytope graph  $E_n$

图 3. 凸多胞体图  $E_n$

**引理 3.1** [13] 当  $n \geq 6$  时, 凸多胞体图  $E_n$  的度量维数  $\dim(E_n) = 3$ 。

**定理 3.1** 当  $n \geq 6$  时, 凸多胞体图  $E_n$  的容错度量维数  $\dim_f(E_n) = 4$ 。

**证明:** (1) 当  $6 \leq n \leq 8$  时, 容易计算, 凸多胞体图  $E_n$  的容错度量基和容错度量维数如表 1 所示。

**Table 1.** The fault-tolerant metric basis and the fault-tolerant metric dimension of  $E_n$  where  $6 \leq n \leq 8$   
**表 1.**  $6 \leq n \leq 8$  时图  $E_n$  的容错度量基和容错度量维数

$n$	$E_n$ 的容错度量基	$\dim_f(E_n)$
6	$\{a_1, a_3, f_1, f_6\}$	4
7	$\{a_1, a_2, a_4, a_6\}$	4
8	$\{a_1, a_3, a_5, a_7\}$	4

(2) 当  $n=2s+1(s \geq 4)$  时, 设  $W_f = \left\{a_1, a_2, a_{\left[\frac{n}{2}\right]+1}, a_{\left[\frac{n}{2}\right]+3}\right\}$ 。下面证明  $W_f$  是凸多胞体图  $E_n$  的一个容错度量解析集。 $E_n$  中的每个顶点关于  $W_f$  的度量表示如下:

$$r(a_i | W_f) = \begin{cases} \left(i-1, 2-i, \left\lfloor \frac{n}{2} \right\rfloor - i + 1, \left\lfloor \frac{n}{2} \right\rfloor + i - 2\right), & 1 \leq i \leq 2; \\ \left(i-1, i-2, \left\lfloor \frac{n}{2} \right\rfloor - i + 1, \left\lfloor \frac{n}{2} \right\rfloor - i + 3\right), & 3 \leq i \leq \left\lfloor \frac{n}{2} \right\rfloor + 1; \\ \left(n-i+1, \left\lfloor \frac{n}{2} \right\rfloor, i - \left\lfloor \frac{n}{2} \right\rfloor - 1, \left\lfloor \frac{n}{2} \right\rfloor - i + 3\right), & \left\lfloor \frac{n}{2} \right\rfloor + 2 \leq i \leq \left\lfloor \frac{n}{2} \right\rfloor + 3; \\ \left(n-i+1, n-i+2, i - \left\lfloor \frac{n}{2} \right\rfloor - 1, i - \left\lfloor \frac{n}{2} \right\rfloor - 3\right), & \left\lfloor \frac{n}{2} \right\rfloor + 4 \leq i \leq n; \end{cases} \quad (11)$$

$$r(b_i | W_f) = \begin{cases} \left(i, 1, \left\lfloor \frac{n}{2} \right\rfloor - i + 1, \left\lfloor \frac{n}{2} \right\rfloor + i - 1\right), & 1 \leq i \leq 2; \\ \left(i, i-1, \left\lfloor \frac{n}{2} \right\rfloor - i + 1, \left\lfloor \frac{n}{2} \right\rfloor - i + 3\right), & 3 \leq i \leq \left\lfloor \frac{n}{2} \right\rfloor; \\ \left(n-i+1, i-1, i - \left\lfloor \frac{n}{2} \right\rfloor, \left\lfloor \frac{n}{2} \right\rfloor - i + 3\right), & \left\lfloor \frac{n}{2} \right\rfloor + 1 \leq i \leq \left\lfloor \frac{n}{2} \right\rfloor + 2; \\ \left(n-i+1, n-i+2, i - \left\lfloor \frac{n}{2} \right\rfloor, i - \left\lfloor \frac{n}{2} \right\rfloor - 2\right), & \left\lfloor \frac{n}{2} \right\rfloor + 3 \leq i \leq n; \end{cases} \quad (12)$$

$$r(c_i | W_f) = \begin{cases} \left(2, 2, \left\lfloor \frac{n}{2} \right\rfloor, \left\lfloor \frac{n}{2} \right\rfloor + 1\right), & i = 1; \\ \left(i+1, i, \left\lfloor \frac{n}{2} \right\rfloor - i + 1, \left\lfloor \frac{n}{2} \right\rfloor - i + 3\right), & 2 \leq i \leq \left\lfloor \frac{n}{2} \right\rfloor - 1; \\ \left(\left\lfloor \frac{n}{2} \right\rfloor + 1, i, 2, \left\lfloor \frac{n}{2} \right\rfloor - i + 3\right), & \left\lfloor \frac{n}{2} \right\rfloor \leq i \leq \left\lfloor \frac{n}{2} \right\rfloor + 1; \\ \left(\left\lfloor \frac{n}{2} \right\rfloor, \left\lfloor \frac{n}{2} \right\rfloor + 1, 3, 2\right), & i = \left\lfloor \frac{n}{2} \right\rfloor + 2; \\ \left(n-i+1, n-i+2, i - \left\lfloor \frac{n}{2} \right\rfloor + 1, i - \left\lfloor \frac{n}{2} \right\rfloor - 1\right), & \left\lfloor \frac{n}{2} \right\rfloor + 3 \leq i \leq n-1; \\ \left(2, 2, \left\lfloor \frac{n}{2} \right\rfloor + 1, \left\lfloor \frac{n}{2} \right\rfloor\right), & i = n; \end{cases} \quad (13)$$

$$r(d_i | W_f) = \begin{cases} \left(3, 3, \left\lfloor \frac{n}{2} \right\rfloor + 1, \left\lfloor \frac{n}{2} \right\rfloor + 2\right), & i = 1; \\ \left(i+2, i+1, \left\lfloor \frac{n}{2} \right\rfloor - i+2, \left\lfloor \frac{n}{2} \right\rfloor - i+4\right), & 2 \leq i \leq \left\lfloor \frac{n}{2} \right\rfloor - 1; \\ \left(\left\lfloor \frac{n}{2} \right\rfloor + 2, i+1, 3, \left\lfloor \frac{n}{2} \right\rfloor - i+4\right), & \left\lfloor \frac{n}{2} \right\rfloor \leq i \leq \left\lfloor \frac{n}{2} \right\rfloor + 1; \\ \left(\left\lfloor \frac{n}{2} \right\rfloor + 1, \left\lfloor \frac{n}{2} \right\rfloor + 2, 4, 3\right), & i = \left\lfloor \frac{n}{2} \right\rfloor + 2; \\ \left(n-i+2, n-i+3, i-\left\lfloor \frac{n}{2} \right\rfloor + 2, i-\left\lfloor \frac{n}{2} \right\rfloor\right), & \left\lfloor \frac{n}{2} \right\rfloor + 3 \leq i \leq n-1; \\ \left(3, 3, \left\lfloor \frac{n}{2} \right\rfloor + 2, \left\lfloor \frac{n}{2} \right\rfloor + 1\right), & i = n; \end{cases} \quad (14)$$

$$r(f_i | W_f) = \begin{cases} \left(4, 4, \left\lfloor \frac{n}{2} \right\rfloor + 1, \left\lfloor \frac{n}{2} \right\rfloor + 3\right), & i = 1; \\ \left(i+3, i+2, \left\lfloor \frac{n}{2} \right\rfloor - i+2, \left\lfloor \frac{n}{2} \right\rfloor - i+4\right), & 2 \leq i \leq \left\lfloor \frac{n}{2} \right\rfloor - 2; \\ \left(i+3, i+2, 4, \left\lfloor \frac{n}{2} \right\rfloor - i+4\right), & \left\lfloor \frac{n}{2} \right\rfloor - 1 \leq i \leq \left\lfloor \frac{n}{2} \right\rfloor; \\ \left(n-i+2, n-i+3, i-\left\lfloor \frac{n}{2} \right\rfloor + 3, 4\right), & \left\lfloor \frac{n}{2} \right\rfloor + 1 \leq i \leq \left\lfloor \frac{n}{2} \right\rfloor + 2; \\ \left(n-i+2, n-i+3, i-\left\lfloor \frac{n}{2} \right\rfloor + 3, i-\left\lfloor \frac{n}{2} \right\rfloor + 1\right), & \left\lfloor \frac{n}{2} \right\rfloor + 3 \leq i \leq n-2; \\ \left(4, 4, n-\left\lfloor \frac{n}{2} \right\rfloor - i+2, i-\left\lfloor \frac{n}{2} \right\rfloor + 1\right), & n-1 \leq i \leq n; \end{cases} \quad (15)$$

从度量表示(11)~(15)可以看出,  $V(E_n)$  中的任意两个顶点关于集合  $W_f$  有不同的度量表示, 所以  $W_f$  是图  $E_n$  的解析集。从集合  $W_f$  任意去掉一个顶点可得  $W_f$  的四个子集, 分别是  $W_1 = \left\{a_1, a_2, a_{\left\lfloor \frac{n}{2} \right\rfloor + 1}\right\}$ ,

$W_2 = \left\{a_1, a_2, a_{\left\lfloor \frac{n}{2} \right\rfloor + 3}\right\}$ ,  $W_3 = \left\{a_1, a_{\left\lfloor \frac{n}{2} \right\rfloor + 1}, a_{\left\lfloor \frac{n}{2} \right\rfloor + 3}\right\}$  和  $W_4 = \left\{a_2, a_{\left\lfloor \frac{n}{2} \right\rfloor + 1}, a_{\left\lfloor \frac{n}{2} \right\rfloor + 3}\right\}$ 。由上面的(11)~(15)可以看出  $V(E_n)$  中的任意两个顶点关于  $W_i (1 \leq i \leq 4)$  有不同的度量表示。 $W_i (1 \leq i \leq 4)$  是  $E_n$  的解析集。由容错解析集的定义可知  $W_f$  是  $E_n$  的容错解析集。因此,  $\dim_f(E_n) \leq 4$ 。结合引理 1.1 和 3.1, 可得  $\dim_f(E_n) \geq 4$ 。综上, 当  $n = 2s+1 (s \geq 4)$  时,  $\dim_f(E_n) = 4$ 。

(3) 当  $n = 2s (s > 4)$  时, 设  $W_f = \left\{a_1, a_3, a_{\left\lfloor \frac{n}{2} \right\rfloor + 1}, a_{\left\lfloor \frac{n}{2} \right\rfloor + 3}\right\}$ 。下面证明  $W_f$  是凸多胞体图  $E_n$  的一个容错度量解析集。 $E_n$  中的每个顶点关于  $W_f$  的度量表示如下:

$$r(a_i | W_f) = \begin{cases} \left( i-1, 3-i, \frac{n}{2}-i+1, \frac{n}{2}+i-3 \right), & 1 \leq i \leq 3; \\ \left( i-1, i-3, \frac{n}{2}-i+1, \frac{n}{2}-i+3 \right), & 4 \leq i \leq \frac{n}{2}+1; \\ \left( n-i+1, i-\frac{n}{2}+3, i-\frac{n}{2}-1, \frac{n}{2}-i+3 \right), & \frac{n}{2}+2 \leq i \leq \frac{n}{2}+3; \\ \left( n-i+1, n-i+3, i-\frac{n}{2}-1, i-\frac{n}{2}-3 \right), & \frac{n}{2}+4 \leq i \leq n; \end{cases} \quad (16)$$

$$r(b_i | W_f) = \begin{cases} \left( i, 3-i, \frac{n}{2}-i+1, \frac{n}{2}+i-2 \right), & 1 \leq i \leq 2; \\ \left( i, i-2, \frac{n}{2}-i+1, \frac{n}{2}-i+3 \right), & 3 \leq i \leq \frac{n}{2}; \\ \left( n-i+1, i-2, i-\frac{n}{2}, \frac{n}{2}-i+3 \right), & \frac{n}{2}+1 \leq i \leq \frac{n}{2}+2; \\ \left( n-i+1, n-i+3, i-\frac{n}{2}, i-\frac{n}{2}-2 \right), & \frac{n}{2}+3 \leq i \leq n; \end{cases} \quad (17)$$

$$r(c_i | W_f) = \begin{cases} \left( i+1, 2, \frac{n}{2}-i+1, \frac{n}{2}+i-1 \right), & 1 \leq i \leq 2; \\ \left( i+1, i-1, \frac{n}{2}-i+1, \frac{n}{2}-i+3 \right), & 3 \leq i \leq \frac{n}{2}-1; \\ \left( n-i+1, i-1, 2, \frac{n}{2}-i+3 \right), & \frac{n}{2} \leq i \leq \frac{n}{2}+1; \\ \left( n-i+1, n-i+3, i-\frac{n}{2}+1, 2 \right), & \frac{n}{2}+2 \leq i \leq \frac{n}{2}+3; \\ \left( n-i+1, n-i+3, i-\frac{n}{2}+1, i-\frac{n}{2}-1 \right), & \frac{n}{2}+4 \leq i \leq n-1; \\ \left( 2, 3, \frac{n}{2}+1, \frac{n}{2}-1 \right), & i = n; \end{cases} \quad (18)$$

$$r(d_i | W_f) = \begin{cases} \left( i+2, 3, \frac{n}{2}-i+2, \frac{n}{2}+i \right), & 1 \leq i \leq 2; \\ \left( i+2, i, \frac{n}{2}-i+2, \frac{n}{2}-i+4 \right), & 3 \leq i \leq \frac{n}{2}-1; \\ \left( n+2-i, i, 3, \frac{n}{2}-i+4 \right), & \frac{n}{2} \leq i \leq \frac{n}{2}+1; \\ \left( n-i+2, n-i+4, i-\frac{n}{2}+2, 3 \right), & \frac{n}{2}+2 \leq i \leq \frac{n}{2}+3; \\ \left( n-i+2, n-i+4, i-\frac{n}{2}+2, i-\frac{n}{2} \right), & \frac{n}{2}+4 \leq i \leq n-1; \\ \left( 3, 4, \frac{n}{2}+2, \frac{n}{2} \right), & i = n; \end{cases} \quad (19)$$

$$r(f_i | W_f) = \begin{cases} \left( i+3, 4, \frac{n}{2}-i+2, \frac{n}{2}+2 \right), & 1 \leq i \leq 2; \\ \left( i+3, i+1, \frac{n}{2}-i+2, \frac{n}{2}-i+4 \right), & 3 \leq i \leq \frac{n}{2}-2; \\ \left( \frac{n}{2}+2, i+1, 4, \frac{n}{2}-i+4 \right), & \frac{n}{2}-1 \leq i \leq \frac{n}{2}; \\ \left( n-i+2, \frac{n}{2}+2, i-\frac{n}{2}+3, 4 \right), & \frac{n}{2}+1 \leq i \leq \frac{n}{2}+2; \\ \left( n-i+2, n-i+4, i-\frac{n}{2}+3, i-\frac{n}{2}+1 \right), & \frac{n}{2}+3 \leq i \leq n-2; \\ \left( 4, n-i+4, \frac{n}{2}+2, i-\frac{n}{2}+1 \right), & n-1 \leq i \leq n; \end{cases} \quad (20)$$

从度量表示(16)~(20)可以看出,  $V(E_n)$  中的任意两个顶点关于集合  $W_f$  有不同的度量表示, 所以  $W_f$  是图  $E_n$  的解析集。从集合  $W_f$  中去掉任意一个顶点可得  $W_f$  的四个子集, 分别是  $W_1 = \left\{ a_1, a_3, a_{\left[\frac{n}{2}\right]+1} \right\}$ ,  $W_2 = \left\{ a_1, a_3, a_{\left[\frac{n}{2}\right]+3} \right\}$ ,  $W_3 = \left\{ a_1, a_{\left[\frac{n}{2}\right]+1}, a_{\left[\frac{n}{2}\right]+3} \right\}$  和  $W_4 = \left\{ a_3, a_{\left[\frac{n}{2}\right]+1}, a_{\left[\frac{n}{2}\right]+3} \right\}$ 。由上面的(16)~(20)可以看出,  $V(E_n)$  中的任意两个顶点关于  $W_i (1 \leq i \leq 4)$  有不同的度量表示。 $W_i (1 \leq i \leq 4)$  是  $E_n$  的解析集。由容错解析集的定义可知  $W_f$  是  $E_n$  的容错解析集。因此,  $\dim_f(E_n) \leq 4$ 。由引理 1.1 和 3.1, 可得  $\dim_f(E_n) \geq 4$ 。综上, 当  $n=2s (s > 4)$  时,  $\dim_f(E_n) = 4$ 。

定理成立。

## 5. 总结

本文通过构作凸多胞体图  $B_n$ ,  $C_n$  和  $E_n$  的容错解析集, 证明了当  $n \geq 6$  时凸多胞体图  $B_n$ ,  $C_n$  和  $E_n$  的容错度量维数都为 4。这些成果在图论和组合优化中具有一定的理论价值, 并在组合优化、网络电信等方面有重要应用。由引理 1.1 可知, 图的容错度量维数大于等于图的度量维数加 1。本文证明了凸多胞体图  $B_n$ ,  $C_n$  和  $E_n (n \geq 6)$  的容错度量维数恰好等于其度量维数加 1。一个自然的问题是: 是否存在其它凸多胞体图, 其容错度量维数大于其度量维数加 1? 这将是我们今后继续研究的问题。

## 基金项目

国家自然基金面上项目(11971146), 河北省创新能力培养资助项目(CXZZSS2024108)。

## 参考文献

- [1] Blumenthal, L.M. (1953) Theory and Applications of Distance Geometry. *The Mathematical Gazette*, **38**, 216-217.
- [2] Slater, P.J. (1975) Leaves of Trees. *Congressus Numerantium*, **14**, 549-559.
- [3] Khuller, S., Raghavachari, B. and Rosenfeld, A. (1996) Landmarks in Graphs. *Discrete Applied Mathematics*, **70**, 217-229. [https://doi.org/10.1016/0166-218x\(95\)00106-2](https://doi.org/10.1016/0166-218x(95)00106-2)
- [4] Chartrand, G., Eroh, L., Johnson, M.A. and Oellermann, O.R. (2000) Resolvability in Graphs and the Metric Dimension of a Graph. *Discrete Applied Mathematics*, **105**, 99-113. [https://doi.org/10.1016/s0166-218x\(00\)00198-0](https://doi.org/10.1016/s0166-218x(00)00198-0)
- [5] Sebő, A. and Tannier, E. (2004) On Metric Generators of Graphs. *Mathematics of Operations Research*, **29**, 383-393. <https://doi.org/10.1287/moor.1030.0070>
- [6] Melter, R.A. and Tomescu, I. (1984) Metric Bases in Digital Geometry. *Computer Vision, Graphics, and Image Processing*,

- 25, 113-121. [https://doi.org/10.1016/0734-189x\(84\)90051-3](https://doi.org/10.1016/0734-189x(84)90051-3)
- [7] Hernando, C., Mora, M., Slater, P.J., et al. (2008) Fault-Tolerant Metric Dimension of Graphs. *Convexity in Discrete Structures*, **5**, 81-85.
- [8] Raza, H., Hayat, S. and Pan, X. (2018) On the Fault-Tolerant Metric Dimension of Certain Interconnection Networks. *Journal of Applied Mathematics and Computing*, **60**, 517-535. <https://doi.org/10.1007/s12190-018-01225-y>
- [9] Koam, A.N.A., Ahmad, A., Abdelhag, M.E. and Azeem, M. (2021) Metric and Fault-Tolerant Metric Dimension of Hollow Coronoid. *IEEE Access*, **9**, 81527-81534. <https://doi.org/10.1109/access.2021.3085584>
- [10] Sharma, S.K. and Bhat, V.K. (2021) Fault-Tolerant Metric Dimension of Two-Fold Heptagonal-Nonagonal Circular Ladder. *Discrete Mathematics, Algorithms and Applications*, **14**, Article ID: 2150132. <https://doi.org/10.1142/s1793830921501329>
- [11] Hamilton, D.L., Walker, I.D. and Bennett, J.K. (1996) Fault Tolerance versus Performance Metrics for Robot Systems. *Reliability Engineering & System Safety*, **53**, 309-318. [https://doi.org/10.1016/s0951-8320\(96\)00041-5](https://doi.org/10.1016/s0951-8320(96)00041-5)
- [12] Chaudhry, M.A., Javaid, I. and Salman, M. (2010) Fault-Tolerant Metric and Partition Dimension of Graphs. *Utilitas Mathematica*, **83**, 187-199.
- [13] Imran, M., Bokhary, S.A.U.H. and Baig, A.Q. (2016) On the Metric Dimension of Rotationally-Symmetric Convex Polytopes. *Journal of Algebra Combinatorics Discrete Structures and Applications*, **3**, 45-59. <https://doi.org/10.13069/jacodesmath.47485>